



Reconstrução tomográfica a partir de projeções

EPUSP/PTC-5892
Prof. Sérgio S Furui

SFurui- 1

Tomografia: secções de objetos

- ❑ Reflexão
 - Acústica: Ultra-som, Radar, ..
 - Ótica: microscópio confocal
- ❑ A partir das projeções
 - No domínio do espaço
 - transmissão : CT
 - emissão: SPECT, PET
 - No domínio da frequência
 - Ressonância Magnética (geometric projection, Fourier projection)

SFurui- 2



Tomografia a partir de projeções no espaço

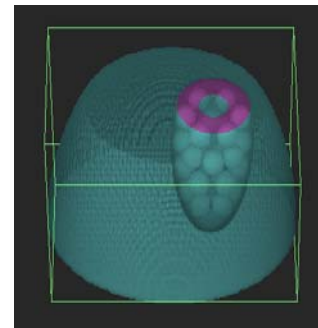
- ❑ Conceito
 - Matemática da reconstrução: Radon, 1917
- ❑ Aplicação
 - Astronomia: Bracewell, 1956
 - Medicina (revolução após Roentgen, 1895)
 - Primeiras publicações: Oldendorf, 1961
 - Primeiros experimentos: Kuhl (UPENN, 1963)
 - Equipamento médico: G Hounsfield (EMI, UK, 1971) e A Cormack (Tufts Univ) => Nobel, 1979

SFurui- 3



Estudo de caso: Phantom 3D

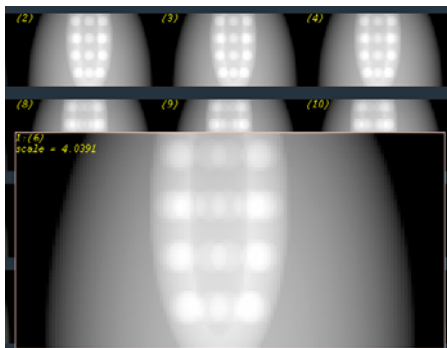
- background
- myocard.
- spots



SFurui- 4



Dados disponíveis: Projeções



SFurui- 5



Processamento: Reconstrução



- Noiseless proj.

ART vox 2 it.

EM vox 2 it.

SFurui- 6



Motivação: 3D Reconstruction



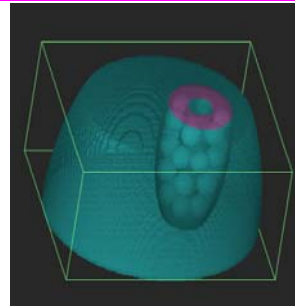
- ART Blob
- Noisyless data
- 2 iterations

SFurie- 7



Motivação: 3D rendering (surface)

- phantom
- segmentation
- surface rendering

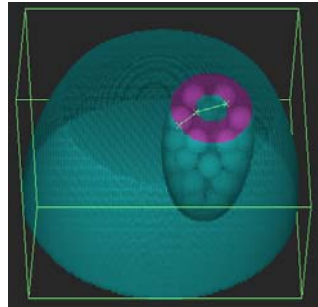


SFurie- 8



Motivation: Measuring in 3D

- distance
- area
- volume
- ejection fraction
- velocity
- ...



SFurie- 9



TOMOGRAFIA A PARTIR DAS PROJEÇÕES

SFurie- 10



Reconst. Tomog. a partir de projeções

- ❑ Projection data formation
 - CT, spiral CT, multi-slice spiral CT (0.5 mm)³, .5 s
 - SPECT
 - 3D PET
- ❑ Tomographic reconstruction methods
 - ML-EM : Maximum-likelihood
 - ART : Algebraic Reconstruction Technique
 - FBP : Filtered Backprojection
 - DFM : Direct Fourier Method

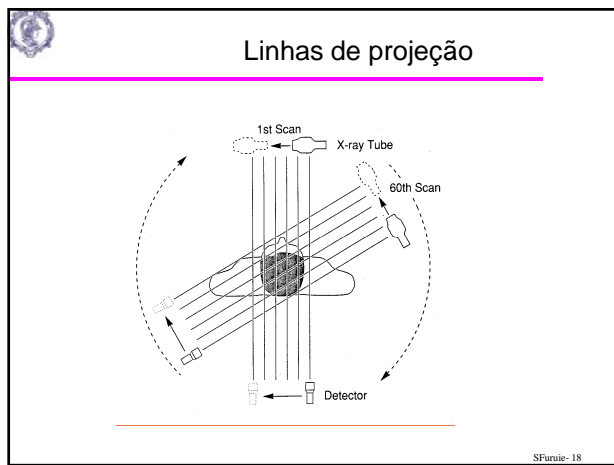
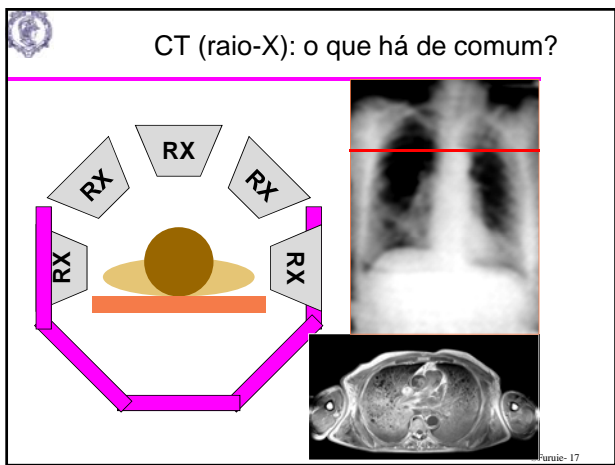
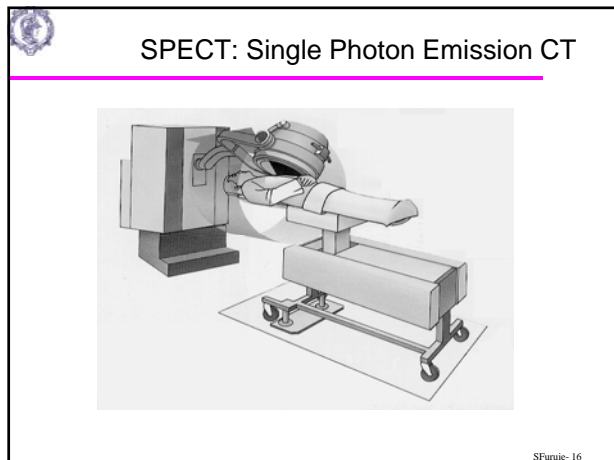
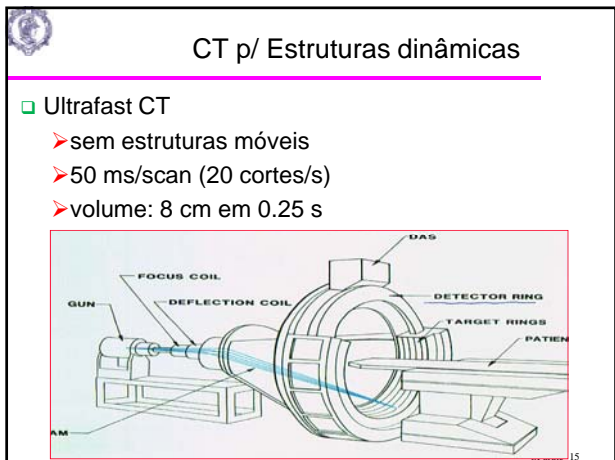
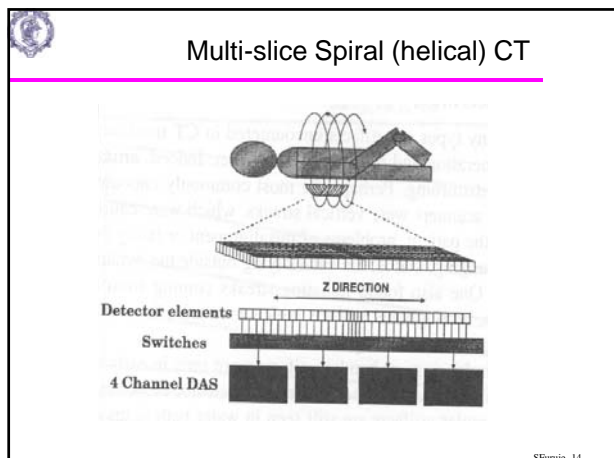
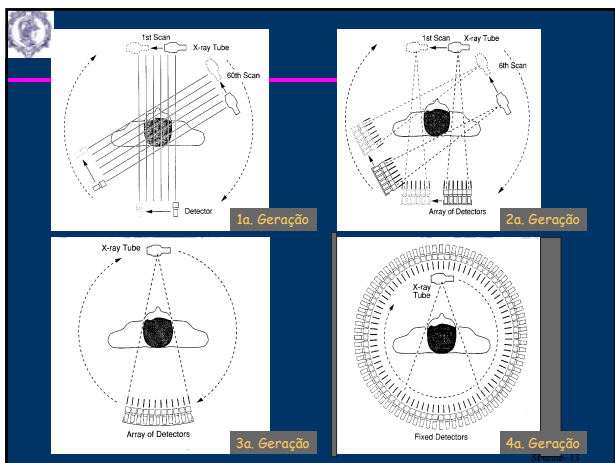
SFurie- 11



Gerações de tomógrafos por proj.

- ❑ Varredura de fonte unica e rotação da fonte-detector
- ❑ Varredura de fonte conica e rotação
- ❑ Cone beam e rotação da fonte-detector
 - spiral CT
 - multi-slice spiral CT
- ❑ Múltiplas fontes cônicas e detetores
- ❑ Electronic beam

SFurie- 12



CT

SFurui- 19

MN: SPECT - o que há de comum?

- Medicina Nuclear:SPECT

Miocárdio marcado com material radioativo (Tc)

SFurui- 20

SPECT:Colimador (septos paralelos)

A imagem formada no cristal é uma projeção bidimensional da distribuição tridimensional do radiofármaco no organismo

SFurui- 21

MN: PET - o que há de comum?

A. fontes para mapas de atenuação
B. absorvedores de fótons espalhados
C. blocos de detetores (BGO)
D. fotomultiplicadoras
E. blindagem

Atômico = 10 - 12 ns

SFurui- 22

PET

- Reconstrução Tomográfica (PET Cerebral)

SFurui- 23

O que há de comum:

- Tomografia a partir das projeções
 - cada pixel na projeção contém informação acumulada ao longo da linha de projeção

$f(x,y)(0,0)$

CT SPECT PET

SFurui- 24



O que há de diferente?

- Entre CT, SPECT e PET?

SFurie- 25



Tomografia por Transmissão (CT)

$$I = I_0 \cdot \exp\left(-\int_L f(x, y) ds\right)$$

$$\ln\left(\frac{I_0}{I}\right) = \int_L f(x, y) ds \quad (\text{Integral de linha})$$

$$p_i = \sum_j \mu_j d_{ij}$$

Desconhecido 1 conjunto:

$$\rightarrow \mu_j \quad j=1, N$$

Transformada de Radon 2D
(projection operator)

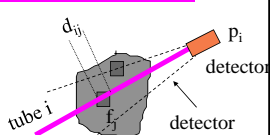
$$f(x, y) \quad \longleftrightarrow \quad g(t, \theta) \quad (\text{sinograma})$$

SFurie- 26



SPECT

$$p_i = \sum_j f_j d_{ij} \cdot \exp\left(-\int_{S_{ij} \rightarrow \infty} \mu_j(s) ds\right)$$

 h_{ij} 

Desconhecidos 2 conjuntos:

$$\rightarrow f_j \quad j=1, N$$

 μ_j

SFurie- 27



PET

$$p_i = \sum_j f_j \cdot (A d_{ij}) \cdot \exp\left(-\int_{S_j} \mu_j(s) ds\right)$$

$$p_i = \exp\left(-\int_{D_i} \mu(s) ds\right) \cdot \sum_j f_j \cdot (A d_{ij})$$

➤ accumulated attenuation estimation: simpler

- Fonte externa => custo, tempo maior

$$\frac{p_i}{\exp\left(-\int_{D_i} \mu(s) ds\right)} = \sum_j f_j \cdot (A d_{ij})$$

Desconhecido 1 conjunto:

$$\rightarrow f_j \quad j=1, N$$

SFurie- 28



O que há de diferente?

- Entre CT, SPECT e PET?

- CT: sist. Eq. Lineares, e 1 conjunto de incógnitas
- SPECT: sist. Eq. Não-lineares, e 2 conjuntos de incôgnitas
- PET: similar a CT se houver boa estimativa das aten.

Ou similar a SPECT => algoritmos AA

SFurie- 29



ALGORITMOS DE RECONSTRUÇÃO TOMOGRAFICA

SFurie- 30

Tomografia por Transmissão (CT)

$I = I_0 \cdot \exp\left(-\int f(x, y) \cdot ds\right)$

$\ln\left(\frac{I_0}{I}\right) = \int f(x, y) \cdot ds$ (Integral de linha)

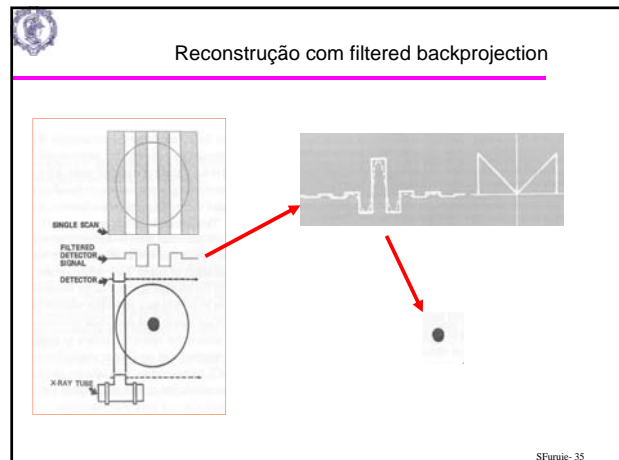
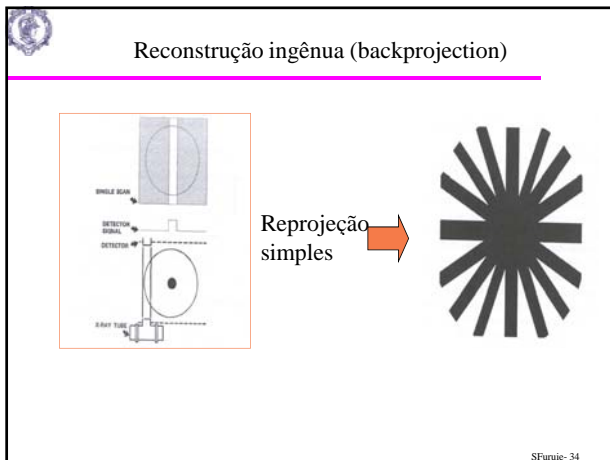
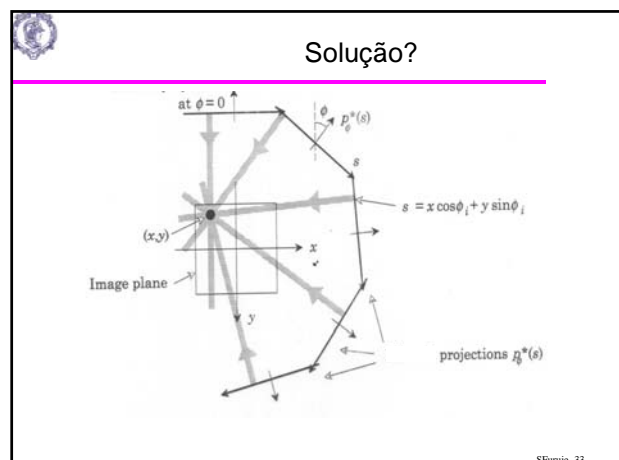
$g(t, \theta) = R f = \int f(x, y) \cdot ds$

$$= \iint f(x, y) \cdot \delta(x \cdot \cos \theta + y \cdot \sin \theta - t) \cdot dx \cdot dy$$

Transformada de Radon 2D
(projection operator)

$f(x, y) \longleftrightarrow g(t, \theta) \quad (\text{sinograma})$

SFurie- 31



Algébrica

Imagen f

Problema: $f \mid$

$$\begin{aligned} f_1 + f_2 &= 7 \\ f_3 + f_4 &= 6 \\ f_1 + f_3 &= 4 \\ f_2 + f_4 &= 9 \end{aligned}$$

SFurie- 36

Soluções

Imagen f

$A \cdot x = b$

M equações com N incógnitas

Sistema indeterminado (infinitas soluções, rank < N)

Sistema inconsistente (M eq. Lin. Indep > N) \Rightarrow otimização

SFurie- 37

Algébrica: otimização (regularizada)

Problema: $f = Ax$

$$\begin{aligned} f_1 + f_2 &= 7 \\ f_3 + f_4 &= 6 \\ f_1 + f_3 &= 4 \\ f_2 + f_4 &= 9 \\ .5f_1 + f_3 + .5f_4 &= 5 \\ .5f_1 + f_2 + .5f_4 &= 8 \end{aligned}$$

Imagem f

SFurui- 38

Soluções (otimizada)

$A \cdot x = b$
6 equações com 4 incógnitas
Sistema inconsistente ($M \text{ eq. Lin. Indep} > N \Rightarrow$ otimização)

$$\begin{aligned} \min_{\hat{x}} \|A \cdot \hat{x} - b\|^2 \\ \hat{x} = A^+ b \\ A^+ = (A^T A)^{-1} A^T \end{aligned}$$

Imagem f

SFurui- 39

Alguma outra solução ?

Reconstruction matrix

Fourier transformed matrix

Teorema do corte central

SFurui- 40

TEOREMA DA PROJEÇÃO

SFurui- 42

Tomografia por Transmissão (CT)

$$g(t, \theta) = R f = \int_L f(x, y) dx$$

$$= \iint f(x, y) \delta(x \cos \theta + y \sin \theta - t) dx dy$$

Transformada de Radon 2D
(projection operator)

$f(x,y) \quad \longleftrightarrow \quad g(t,\theta) \quad (\text{sinograma})$

SFurui- 43

Teorema da Projeção

$$g(t, \theta) = \iint f(x, y) \delta(x \cos \theta + y \sin \theta - t) dx dy$$

$$G(u, \theta) \equiv \iint f(x, y) \int \delta(x \cos \theta + y \sin \theta - t) e^{-j2\pi u t} dt dx dy$$

$$G(u, \theta) = \iint f(x, y) e^{-j2\pi u (x \cos \theta + y \sin \theta)} dx dy$$

$$\therefore G(u, \theta) = F(u \cos \theta, u \sin \theta) \Rightarrow DFM$$

SFurui- 44



Teorema da Projeção (cont.)

Transf.Radon Inversa

$$f(x, y) = \iint F(u, v) e^{j2\pi(x.u+y.v)} du dv$$

coord.polares => $u = w \cos \theta$ e $v = w \sin \theta$

$$f(x, y) = \int_0^{\pi} \int_0^{\infty} F_p(w, \theta) e^{j2\pi(x.w \cos \theta + y.w \sin \theta)} w dw d\theta$$

$$f(x, y) = \int_0^{\pi} \int_0^{\infty} F_p(w, \theta) e^{j2\pi(x.w \cos \theta + y.w \sin \theta)} |w| dw d\theta$$

SFurui- 45



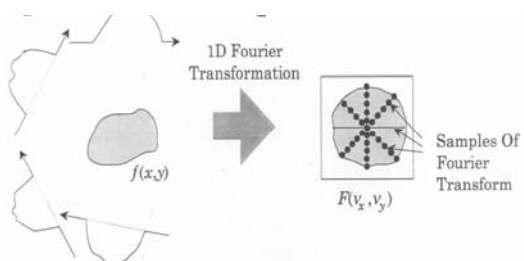
Reconstr. baseados em Transf.

- Direct Fourier Method
- Inverse Radon Transform
- Convolution Backprojection
- Filtered Backprojection
- Fan-beam
 - rebinning
 - fórmula

SFurui- 46



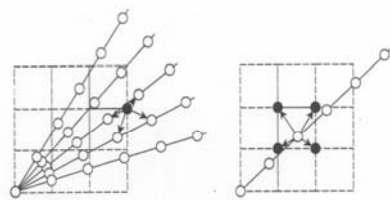
Ilustração DFM



SFurui- 47



DFM : interpolação em freq.



SFurui- 48



CBP, FBP

$$f(x, y) = \int_0^{\pi} \int_0^{\infty} F_p(w, \theta) e^{j2\pi(x.w \cos \theta + y.w \sin \theta)} |w| dw d\theta$$

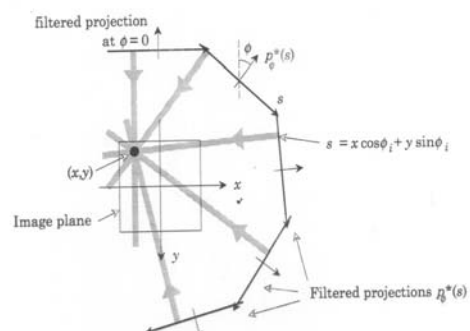
$$f(x, y) = \int_0^{\pi} \left\{ \int_0^{\infty} F_p(w, \theta) . |w| . e^{j2\pi.w.(x.\cos\theta + y.\sin\theta)} dw \right\} d\theta$$

$$f(x, y) = \int_0^{\pi} \hat{g}(x \cos \theta + y \sin \theta, \theta) d\theta$$

SFurui- 49



FBP



SFurui- 50



Normalização (escala Hounsfield)

$$H_{CT} = 1000 \frac{\mu - \mu_{H_2O}}{\mu_{H_2O}}$$

$\therefore H_{CT} (\text{água}) = 0$

$H_{CT} (\text{ar}) = -1000$

$H_{CT} (\text{osso}) \approx 1000$

$\mu_{H_2O} = 0.190 \text{ cm}^{-1} (70 \text{ kev})$

Massa branca e cinzenta: apenas alguns Hs

SFurui- 53



SPECT

$$p_i = \sum_j x_j d_{ij} A \exp \left(- \int_{s_{ij} \rightarrow \infty} \mu_j(s) ds \right)$$

h_{ij}

Quantitative

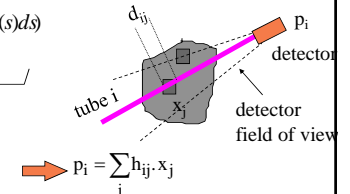
➤ EM

➤ ART

Approximate (Transform)

➤ attenuation correction on projection data

➤ attenuation correction on reconstructed data



SFurui- 54



ALGORITMO DE RECONSTRUÇÃO: ART

SFurui- 55



Solution: Algebraic Reconstruction

System of linear equations

➤ Huge system

➤ Eg. volume: $64 \times 64 \times 64$

$x_j \quad j=1..262,144 \text{ voxels}$

➤ Projections:

128 views, 64×64 planes

$p_i \quad i=1..524,288 \text{ projs.}$

➤ $H : 524k \times 262k$

Row-action methods

➤ ART

➤ EM

$$p_i = \sum_j h_{ij} \cdot x_j \quad (\text{all 3D projections})$$

$$\vec{p} = \mathbf{H} \cdot \vec{x} \quad (\text{vector notation})$$

$$\begin{bmatrix} p_i \\ \vdots \\ p_i \end{bmatrix} = \begin{bmatrix} h_{ij} \\ \vdots \\ h_{ij} \end{bmatrix} \cdot \begin{bmatrix} x_j \\ \vdots \\ x_j \end{bmatrix}$$

SFurui- 56

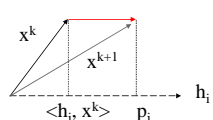


ART: Algebraic Reconst. Technique

- ❑ Noisy data
- ❑ Optimization criteria
 - Least-square solution
 - Minimum norm solution
 - row-action
 - relaxation

$$\vec{p} = \mathbf{H} \cdot \vec{x} + \vec{n}$$

$$\vec{x}^{k+1} = \vec{x}^k + \lambda \cdot \frac{p_i - \langle \vec{h}_i, \vec{x}^k \rangle}{\|\vec{h}_i\|^2} \cdot \vec{h}_i$$



SFurui- 57



ART 3D: Algebraic Reconst. Techn.

- ❑ Noise removal: projection data estimation
- ❑ Quantitative reconstruction
- ❑ Fast (3D)
- ❑ Simple
- ❑ General
- ❑ [H] determination
- ❑ Stop criteria

SFurui- 58



ALGORITMO: ML-MAXIMUM LIKELIHOOD

SFurui- 59

Statistical Solution

- ❑ Projection: Poisson noise
- ❑ Maximum likelihood
 - Expectation-maximization algorithm
 - Iterative approach
- ❑ Maximum a posteriori
 - "a priori" probability distr.

$$\begin{aligned} \bar{p} &= \text{Poisson } (\mathbf{H}, \bar{x}) \\ \max_{\bar{p}} \Pr[\bar{p} | \bar{x}] &\quad (\text{ML}) \\ \max_{\bar{p}} \Pr[\bar{x} | \bar{p}] &\quad (\text{MAP}) \\ \Pr[\bar{x} | \bar{p}] &= \frac{\Pr[\bar{p} | \bar{x}].\Pr[\bar{x}]}{\Pr[\bar{p}]} \end{aligned}$$

SFurui- 60



Expectation-maximization

- ❑ Maximum Likelihood
- ❑ ML-EM algorithm

$$\max_{\bar{p}} \Pr[\bar{p} | \bar{x}]$$

$\Pr[\bar{p} | \bar{x}]$: indep. Poisson

$$\text{Poisson } (k | \lambda) = \frac{e^{-\lambda} \lambda^k}{k!}$$

λ : média e variância

$$\mathbf{x}_j^{k+1} = \sum_i \mathbf{h}_{ij}^k \cdot \sum_i \frac{p_i}{\langle \bar{\mathbf{x}}^k, \bar{\mathbf{h}}_i \rangle} \mathbf{h}_{ij}$$

SFurui- 61



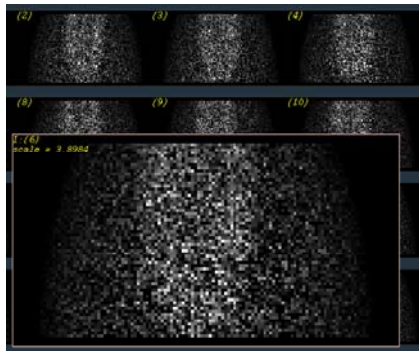
ML-EM

- ❑ Handles Poisson noise
- ❑ Total count conservation
- ❑ Convergence to ML
- ❑ Expectation-maximization
 - algorithm independent of rays direction
 - quantitative approach
 - iterative
 - slow convergence
 - no stop criterion

SFurui- 62



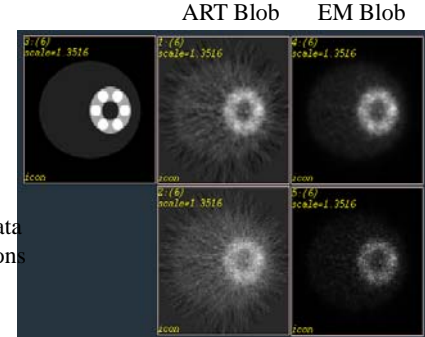
Noisy projections



SFurui- 63



Reconstructions



SFurui- 64



Síntese

- ❑ Modelos de formação das projeções
- ❑ Reconstrução tomográfica 2D/3D
 - Aspectos gerais
 - Vantagens/desvantagens
- ❑ Métodos de reconstrução
 - Algébrico (ART)
 - Estatístico (ML-EM)
 - Analíticos
 - FBP, DFM
 - 3DRP, Favor, Cone
 - Simplificações: Rebinning

SFurui- 65



Algumas questões em aberto: CT/ECT

- ❑ SPECT/PET 3D quantitativo em tempo clínico aceitável
 - Algoritmos mais eficientes
 - Otimização de todo o processo
 - Avaliação objetiva de cada fase do processo
 - Avaliação clínica
- ❑ Correção de atenuação em PET e SPECT sem fonte externa
- ❑ PET 3D dinâmico
- ❑ Dinâmica metabólica

SFurui- 66



Bibliografia

- ❑ A.K. Jain, Fundamentals of Digital Image Processing, Prentice Hall, 1989.
- ❑ G.T. Herman, *Image Reconstruction from Projections*, Academic Press, 1980.
- ❑ J.C.Russ, The Image Processing Handbook, CRC Press, 1992.
- ❑ S.Matej, R.M.Lewitt, "Practical considerations for 3-D image reconstruction using spherically symmetric volume elements, IEEE Trans. Med.Imag., vol.15(1):68-78, Feb. 1996.
- ❑ L.A. Shepp, Y.Vardi "Maximum likelihood reconstruction for emission tomography", IEEE Trans.Med.Imag., vol.1(2):113-122, 1982.

SFurui- 67



SFurui- 68